



UNIVERSITÄTS-
BIBLIOTHEK
PADERBORN

Die Statik im Stahlbetonbau

Beyer, Kurt

Berlin [u.a.], 1956

Zahlenbeispiele

[urn:nbn:de:hbz:466:1-74292](https://nbn-resolving.org/urn:nbn:de:hbz:466:1-74292)

Näherungsrechnung für den Rahmenträger (Abb. 474).

Belastung $P = 2,5 \text{ t}$ in den Knoten 1, 2, 3, 4, 5, 6.

k	0	1	2	3	4	5	6	7
P	(-7,5)	0	2,5	0	2,5	0	2,5	0 t
V_{k0}	0	7,5	7,5	5	5	2,5	2,5	0 t
$c/2$	—	1,25	1,25	1,25	1,25	2,5	2,5	2,5 m
$V_{k0} c/2$	—	9,38	9,38	6,25	6,25	6,25	6,25	0 mt
$M_{k0}/2$	—	4,69	9,38	12,50	15,63	18,75	21,88	21,88 mt
$M_{k(k+1)}$	-4,69		-3,12		-3,12		0	mt
$M_{k(k-1)}$			4,69		3,12		3,12	mt

Die Momente sind in Abb. 473 dargestellt. Die genauen Werte sind nach S. 497 berechnet und das Ergebnis in Klammern und gestrichelten Linien eingetragen.

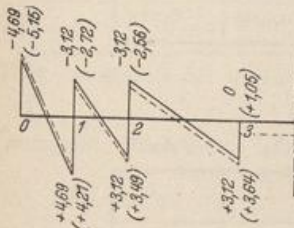


Abb. 473.

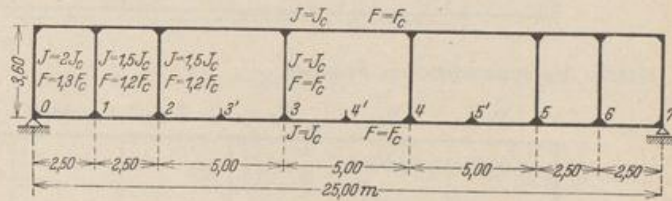


Abb. 474.

Zahlenbeispiel für die Berechnung eines Rahmenträgers (Abb. 474).

Das Tragwerk ist symmetrisch zu einer waagerechten und zu einer senkrechten Mittellinie.

Geometrische Grundlagen.

$$h_0 = 1,8, \quad h_1 = h_2 = 2,4, \quad h_3 = 3,6 \text{ m},$$

$$c_1 = c_2 = 2,5, \quad c_3 = c_4 = 5,0 \text{ m};$$

$$\alpha = 1,2, \quad E/G = 2, \quad J_c = 0,0533 \text{ m}^4, \quad F_c = 1,0 \text{ m}^2, \quad J_c/F_c^2 = 0,0533 \text{ m}^2;$$

$$v_0 = 1,2 \cdot 2 \cdot 0,0533/1,3 = 0,0985, \quad v_1 = v_2 = 0,1067, \quad v_3 = 0,128, \quad \gamma_k = 0,128.$$

Antimetrischer Ansatz, Vorzahlen nach (774):

$$\delta_{21} = -\frac{1}{3} \left(2,4 + 12 \cdot \frac{0,1067}{3,6} \right) = -0,919, \quad \delta_{23} = -\frac{1}{3} \left(2,4 + 12 \cdot \frac{0,1067}{3,6} \right) = -0,919,$$

$$\delta_{22} = \frac{1}{3} \left(2,4 + 2,4 + 6 \cdot 2,5 + \frac{12}{3,6} \cdot 2 \cdot 0,1067 + 24 \cdot 0,0533 \cdot \frac{2,5}{3,6^2} \right) = 6,921.$$

Symmetrischer Ansatz, Vorzahlen nach (775):

$$\tau_{21}^{(1)} = \frac{2,4 \left(2,5 - 6 \frac{0,128}{2,5} \right)}{2 \cdot 2,5 + 3 \cdot 2,4 + 6 \frac{0,128}{2,5}} = 0,421, \quad \tau_{23}^{(1)} = \frac{2,4 \left(5,0 - 6 \frac{0,128}{5,0} \right)}{2 \cdot 5,0 + 3 \cdot 2,4 + 6 \frac{0,128}{5,0}} = 0,670,$$

$$\tau_{22}^{(1)} = \left(\frac{2}{3} \cdot 2,5 + 2 \frac{0,128}{2,5} \right) + \left(\frac{2}{3} \cdot 5,0 + 2 \frac{0,128}{5,0} \right) - \frac{\left(2,5 - 6 \frac{0,128}{2,5} \right)^2}{3 \left(2 \cdot 2,5 + 3 \cdot 2,4 + 6 \frac{0,128}{2,5} \right)}$$

$$\frac{\left(2 \cdot 5,0 + 6 \frac{0,128}{5,0} \right)^2}{3 \left(2 \cdot 5,0 + 3 \cdot 2,4 + 6 \frac{0,128}{5,0} \right)} = 3,046.$$

Matrix des antimetrischen Ansatzes:

	Y_1	Y_2	Y_3	Y_4	Y_5	Y_6	Y_7
	+ 6,712	- 0,919					
	- 0,919	+ 6,921	- 0,919				
		- 0,919	+ 12,425	- 1,342			
			- 1,342	+ 12,846	- 1,342		
				- 1,342	+ 12,425	- 0,919	
					- 0,919	+ 6,921	- 0,919
						- 0,919	+ 6,712

Matrix des symmetrischen Ansatzes:

	X_1	X_2	X_3	X_4	X_5	X_6	X_7
	2,638	0,421					
	0,421	3,046	0,670				
		0,670	4,677	0,833			
			0,833	4,756	0,833		
				0,833	4,031	0,421	
					0,421	2,660	0,421
						0,421	1,641

Bemerkenswert ist die geringe Abhängigkeit der überzähligen Größen, so daß die Formänderungen δ_{ki} und $\tau_{ki}^{(1)}$ mit $k \neq i$ zur Bildung eines ersten Näherungsergebnisses Null gesetzt werden können.

Konjugierte Matrix $\beta_{ki}^{(2)}$ des antimetrischen Ansatzes:

	$-\kappa_{21}$	$-\kappa_{32}$	$-\kappa_{43}$	$-\kappa_{54}$	$-\kappa_{65}$	$-\kappa_{76}$	
	0,1341	0,0748	0,1057	0,1091	0,1352	0,1370	→
1	0,1518	0,0204	0,0015	0,0002	0,0000	0,0000	0,0000
2	0,0204	0,1486	0,0111	0,0012	0,0001	0,0000	0,0000
3	0,0015	0,0111	0,0822	0,0087	0,0009	0,0001	0,0000
4	0,0002	0,0012	0,0087	0,0796	0,0087	0,0012	0,0002
5	0,0000	0,0001	0,0009	0,0087	0,0822	0,0111	0,0015
6	0,0000	0,0000	0,0001	0,0012	0,0111	0,1486	0,0204
7	0,0000	0,0000	0,0000	0,0002	0,0015	0,0204	0,1518

\uparrow
 $0,1370 = -\kappa_{12}$
 $0,1352 = -\kappa_{23}$
 $0,1091 = -\kappa_{34}$
 $0,1057 = -\kappa_{45}$
 $0,0748 = -\kappa_{56}$
 $0,1341 = -\kappa_{67}$
 \downarrow

Konjugierte Matrix $\beta_{ki}^{(y)}$ des symmetrischen Ansatzes.

	$-\kappa_{21}$	$-\kappa_{32}$	$-\kappa_{43}$	$-\kappa_{54}$	$-\kappa_{65}$	$-\kappa_{76}$	
	$-0,1429$	$-0,1481$	$-0,1817$	$-0,2103$	$-0,1650$	$-0,2564$	\rightarrow
1	$+0,3880$	$-0,0554$	$+0,0082$	$-0,0015$	$+0,0003$	$-0,0001$	$+0,0000$
2	$-0,0554$	$+0,3477$	$-0,0515$	$+0,0094$	$-0,0020$	$+0,0003$	$-0,0001$
3	$+0,0082$	$-0,0515$	$+0,2290$	$-0,0416$	$+0,0087$	$-0,0014$	$+0,0004$
4	$-0,0015$	$+0,0094$	$-0,0416$	$+0,2260$	$-0,0475$	$+0,0078$	$-0,0020$
5	$+0,0003$	$-0,0020$	$+0,0087$	$-0,0475$	$+0,2622$	$-0,0433$	$+0,0111$
6	$-0,0001$	$+0,0003$	$-0,0014$	$+0,0078$	$-0,0433$	$+0,3990$	$-0,1024$
7	$+0,0000$	$-0,0001$	$+0,0004$	$-0,0020$	$+0,0111$	$-0,1024$	$+0,6360$

Rechenvorschrift der überzähligen Größen.

$$Y_k = \sum \beta_{ki}^{(y)} \delta_{k0}, \quad X_k = \sum \beta_{ki}^{(x)} \tau_{k0}^{(1)}$$

Senkrechte Einzellasten in den Punkten 1, 2, 3', 3, 4', ...

$$\delta_{20,1} = V_{20} \left[\frac{2,5 \cdot 2,5}{2} + \frac{1}{6} 2,5 \left(2,4 + 12 \cdot \frac{0,1067}{3,6} \right) \right] - \frac{1}{6} V_{30} 5,0 \left(2,4 + 12 \cdot \frac{0,1067}{3,6} \right) + 4 M_{20} \frac{2,5}{3,6^2} \cdot 0,0533.$$

$$\begin{aligned} \delta_{10,1} &= 4,011 V_{10} - 1,148 V_{20} + 0,0412 M_{10}, \\ \delta_{20,1} &= 4,273 V_{20} - 2,296 V_{30} + 0,0412 M_{20}, \\ \delta_{30,1} &= 14,796 V_{30} - 3,356 V_{40} + 0,0824 M_{30}, \\ \delta_{40,1} &= 15,856 V_{40} - 3,356 V_{50} + 0,0824 M_{40}, \\ \delta_{50,1} &= 15,856 V_{50} - 1,148 V_{60} + 0,0824 M_{50}, \\ \delta_{60,1} &= 4,273 V_{60} - 1,148 V_{70} + 0,0412 M_{60}, \\ \delta_{70,1} &= 4,273 V_{70}. \end{aligned}$$

$$\delta_{k0,2} = \frac{c'_k}{2 c_k} P_k z_k^2 + \frac{1}{6} P_k z_k \left(h'_{k-1} + 12 \frac{v_{k-1}}{h} \right) - \frac{1}{6} P_{k+1} z_{k+1} \left(h'_k + 12 \frac{v_k}{h} \right).$$

Gleichförmige Belastung $g = 1,0 \text{ t/m}$ liefert $P = 2,5 \text{ t}$ in 1, 2, 3', 3, 4', ...

$k =$	1	2	3	4	5	6	7
$V_{k0} =$	11,25	8,75	3,75	-1,25	-6,25	-8,75	-11,25 t
$M_{k0} =$	28,125	50,0	75,0	75,0	50,0	28,125	0 mt

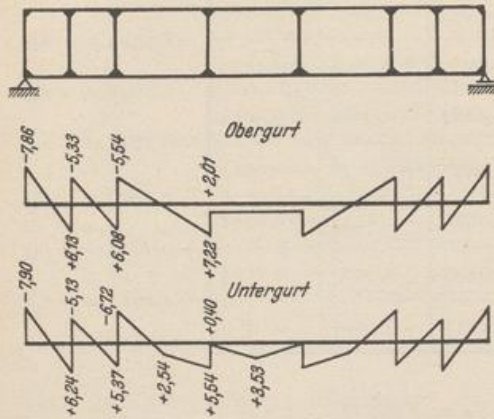
$$\delta_{30,1} = 14,796 \cdot 3,75 + 3,356 \cdot 1,25 + 0,0824 \cdot 75 = 65,860,$$

$$\delta_{30,2} = \frac{5,0}{2 \cdot 5,0} 2,5 \cdot 2,5^2 + \frac{1}{6} 2,5 \cdot 2,5 \left(2,4 + 12 \cdot \frac{0,1067}{3,6} \right) - \frac{1}{6} 2,5 \cdot 2,5 \left(3,6 + 12 \cdot \frac{0,128}{3,6} \right) = 6,4885;$$

δ_{10}	δ_{20}	δ_{30}	δ_{40}	δ_{50}	δ_{60}	δ_{70}
36,2375	27,9668	-72,3485	15,1475	-72,9283	-23,3150	-48,0713

$$\tau_{30}^{(1)} = - \left[\frac{5,0 \cdot 5,0}{6} \cdot 2,5 \cdot \frac{3}{8} - \frac{5,0 \cdot 5,0}{6} \cdot 2,5 \cdot \frac{3}{8} + \frac{5,0 \cdot 5,0}{6} \cdot 2,5 \cdot \frac{3}{8} \frac{5,0 - 6 \cdot \frac{0,128}{5,0}}{2 \cdot 5,0 + 3 \cdot 2,4 + 6 \cdot \frac{0,128}{5,0}} + \frac{5,0 \cdot 5,0}{6} \cdot 2,5 \cdot \frac{3}{8} \frac{2 \cdot 5,0 + 6 \cdot \frac{0,128}{5,0}}{2 \cdot 5,0 + 3 \cdot 3,6 + 6 \cdot \frac{0,128}{5,0}} \right] = 4,8286.$$

$\tau_{10}^{(1)}$	$\tau_{20}^{(1)}$	$\tau_{30}^{(1)}$	$\tau_{40}^{(1)}$	$\tau_{50}^{(1)}$	$\tau_{60}^{(1)}$	$\tau_{70}^{(1)}$
0	1,6208	4,8286	5,0160	3,0028	0	0



Ergebnis der Superposition.

- $Y_1 = 6,1829 \text{ mt}, X_1 = -0,0568 \text{ mt},$
- $Y_2 = 5,7236 \text{ mt}, X_2 = 0,3560 \text{ mt},$
- $Y_3 = 6,3756 \text{ mt}, X_3 = 0,8397 \text{ mt},$
- $Y_4 = 1,2039 \text{ mt}, X_4 = 0,8053 \text{ mt},$
- $Y_5 = -6,1259 \text{ mt}, X_5 = 0,5907 \text{ mt},$
- $Y_6 = -5,2294 \text{ mt}, X_6 = -0,1000 \text{ mt},$
- $Y_7 = -7,8792 \text{ mt}, X_7 = 0,0225 \text{ mt},$
- $M_{21}^a = 5,7236 + 0,3560 = 6,08 \text{ mt},$
- $M_{11}^b = 5,7236 - 0,3560 = 5,37 \text{ mt},$
- $M_{23}^a = M_{54}^a = -6,1259 + 0,5907 = -5,54 \text{ mt},$
- $M_{23}^b = M_{54}^b = -6,1259 - 0,5907 = -6,72 \text{ mt},$
- Einflußlinie Y_3 für $P = 1 \text{ t}$ in 1, 2, 3, 4, 5, 6

Abb. 475. Momente in mt für $g = 1,0 \text{ t/m}$.

$$\mathfrak{B}_{23} = -\frac{1}{6} \left(3 \cdot 5 + 2,4 + 12 \frac{0,1067}{36} \right) = -2,9593,$$

$$\mathfrak{B}_{33} = \frac{1}{6} \left(3 \cdot 5 + 2,4 + 3,6 + 24 \frac{5}{3,6^2} \cdot 0,0533 \right) = +3,7127,$$

$$\mathfrak{B}_{43} = -\frac{1}{6} \left(3,6 + 12 \frac{0,128}{3,6} \right) = -0,6711.$$

$$\begin{aligned} \beta_{33}^{(Y)} \mathfrak{B}_{23} &= -0,2433, & \beta_{32}^{(Y)} \mathfrak{B}_{12} &= -0,0190, & \beta_{34}^{(Y)} \mathfrak{B}_{34} &= -0,0276, \\ \beta_{33}^{(Y)} \mathfrak{B}_{33} &= +0,3052, & \beta_{32}^{(Y)} \mathfrak{B}_{22} &= +0,0245, & \beta_{34}^{(Y)} \mathfrak{B}_{44} &= +0,0341, \\ \beta_{33}^{(Y)} \mathfrak{B}_{43} &= -0,0552, & \beta_{32}^{(Y)} \mathfrak{B}_{32} &= -0,0051, & \beta_{34}^{(Y)} \mathfrak{B}_{54} &= -0,0058. \end{aligned}$$

Die Superposition der Anteile an jedem Knoten ergibt

\mathfrak{B}_1	\mathfrak{B}_2	\mathfrak{B}_3	\mathfrak{B}_4	\mathfrak{B}_5	\mathfrak{B}_6
-0,0190	-0,2188	+0,2725	-0,0211	-0,0058	0

$$A_{10} = -0,0382, \quad B_{10} = +0,0460, \quad Y_3 = M_{10}.$$

$k =$	1	2	3	4	5	6	7
$Q_{10} =$	-0,0382	-0,0192	+0,1996	-0,0729	-0,0518	-0,0460	-0,0460
$Q_{10}^c =$	-0,0955	-0,0480	+0,3980	-0,3645	-0,2590	-0,1150	-0,1150
$Y_3 =$	-0,096	-0,140	+0,854	+0,490	+0,231	+0,116	0 mt

Ergänzung der Einflußlinie Y_3 für $P = 1 \text{ t}$ in 3', 4', 5'.

$$\Delta \delta_{k'k} = -\frac{c_k c'_k}{2} \omega_R = -\frac{5 \cdot 5}{2} \frac{1}{4} = -3,125, \quad k = 3, 4, 5. \quad \Delta Y_{3k'} = \beta_{3k} \delta_{k'k},$$

$$\Delta Y_{33'} = -0,0822 \cdot 3,125 = -0,257, \quad \Delta Y_{34'} = -0,027, \quad \Delta Y_{35'} = -0,003.$$

$$Y_{33'} = \frac{Y_{33} + Y_{32}}{2} + \Delta Y_{33'} = 0,098 \text{ mt}, \quad Y_{34'} = 0,645 \text{ mt}, \quad Y_{35'} = 0,357 \text{ mt}.$$

Einflußlinie X_3 für $P = 1 \text{ t}$ in 3', 4', 5'.

$$\tau_{3'2}^{(1)} = 0,6483, \quad \tau_{3'3}^{(1)} = 1,1255, \quad \tau_{4'3}^{(1)} = 0,8053, \quad \tau_{4'4}^{(1)} = 1,2011.$$

Feld c_3 : $X_{33'} = 0,2290 (1,1255 - 0,2249 \cdot 0,6483) = 0,224 \text{ mt},$

Feld c_4 : $X_{34'} = 0,2290 (0,8053 - 0,1817 \cdot 1,2011) = 0,134 \text{ mt}.$

Einflußlinien $M_{32}^a = Y_3 + X_3$, $M_{32}^b = Y_3 - X_3$.

$k =$	1	2	3'	3	4'	4	5'	5
$M_{32}^a =$	-0,096	-0,144	0,322	0,854	0,779	0,490	0,334	0,231 mt
$M_{32}^b =$	-0,096	-0,144	-0,126	0,854	0,511	0,490	0,338	0,321 mt

Die beiderseits anschließenden Teile sind geradlinig.

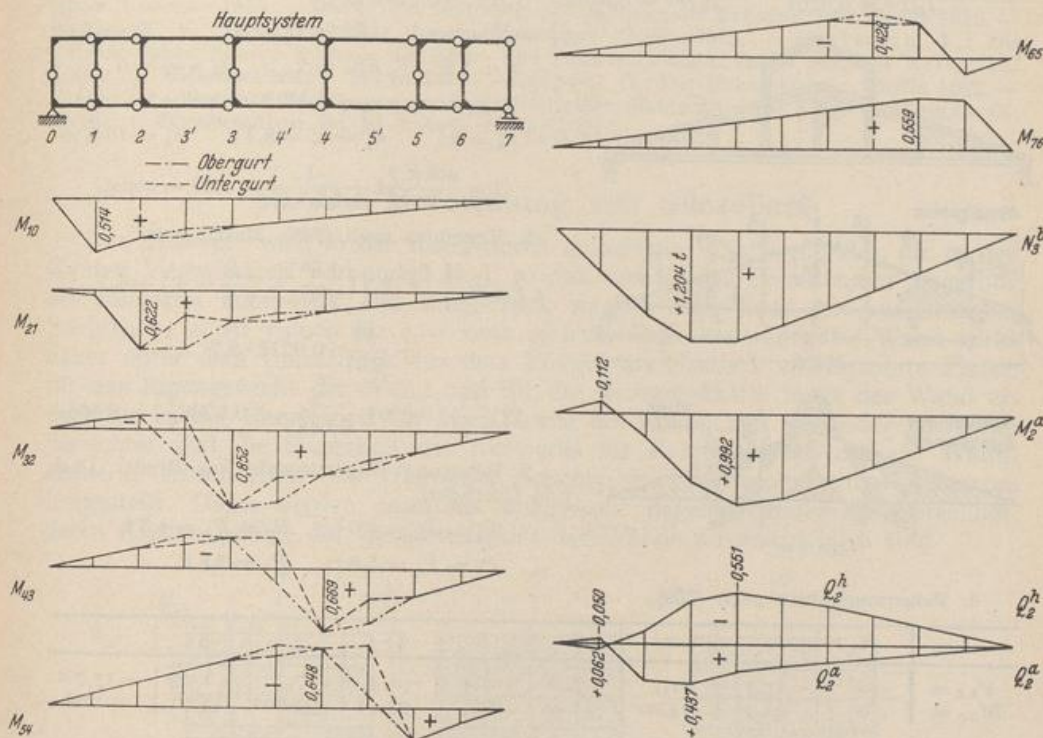


Abb. 476.

Einflußlinie $N_3^b = (M_{03} - 2 Y_3)/h$.

$k =$	1	2	3'	3	4'	4	5'	5
$M_{03} =$	1,500	3,000	4,500	6,000	5,000	4,000	3,000	2,000
$N_3^b =$	0,470	0,913	1,200	1,192	1,031	0,839	0,635	0,491 t

Alle übrigen Einflusslinien ergeben sich in derselben Weise.

Ist das Trägheitsmoment des Untergurtes groß gegenüber dem des Obergurtes, so kann näherungsweise mit einem System nach Abb. 477 gerechnet werden. Die Einflusslinien für die Untergurtmomente haben dann die in Abb. 477 dargestellte Form.

$$J_k^b = J_c = 0,1 \text{ m}^4, \quad F_k^b = 1,0, \quad F_k^a = 0,2 \text{ m}^2,$$

$$J_0 = J_1 = J_2 = 0,025, \quad J_3 = 0,0125 \text{ m}^4,$$

$$F_0 = F_1 = F_2 = 0,30, \quad F_3 = 0,25 \text{ m}^2,$$

$$v_0 = v_1 = v_2 = 0,8, \quad v_3 = 0,96.$$

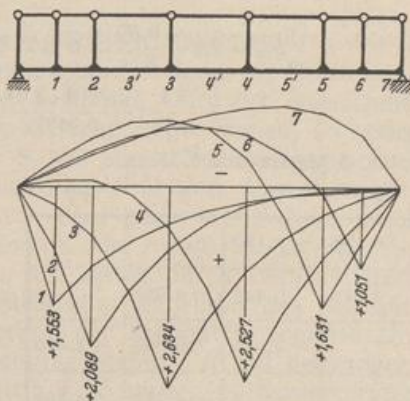


Abb. 477.

Berechnung eines Dachbinders mit vollwandigen Endfeldern (Abb. 478).

1. Geometrische Grundlagen.

$$c = 2,7 \text{ m}, \quad h_0 = 1,8, \quad h_1 = 2,7, \quad h_2 = 3,6 \text{ m},$$

$$c/s_k^\alpha = \cos \alpha = 0,9487, \quad J_c = J^b = J^a \cos \alpha,$$

$$J_c = 0,0031 \text{ m}^4, \quad F^a = 0,155, \quad F^b = 0,150, \quad F^h = 0,105 \text{ m}^2,$$

$$J_c/F^a = 0,0201, \quad J_c/F^b = 0,0208, \quad J_c/F^h = 0,0297 \text{ m}^2,$$

$$J_0^h = J_4^h = \infty, \quad F_0^h = F_4^h = \infty, \quad J_h = J_c/3;$$

$$\kappa = 1,2, \quad E/G = 2, \quad v_0 = v_4 = 0,$$

$$v_1 = v_2 = v_3 = 0,0712, \quad c' = c,$$

$$h'_0 = h'_4 = 0, \quad h'_1 = h'_3 = 8,1, \quad h'_2 = 10,8 \text{ m}.$$

$$\zeta'_k = \frac{\cos \alpha}{2} \left(1 + \frac{1}{\cos^2 \alpha} \right) = 1,00 = \text{const.}$$

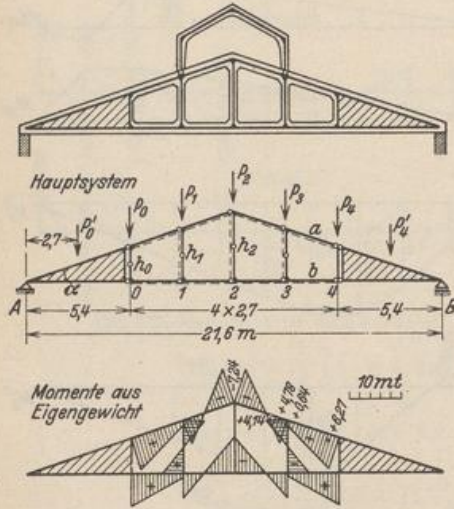


Abb. 478.

2. Vorzahlen nach (768). Matrix s. u.

$$\delta_{11} = \frac{1}{3} \left[2 \cdot 2,7 \left(\frac{1,8^2}{2,7^2} + \frac{1,8}{2,7} + 1 \right) + 8,1 \right. \\ \left. + \frac{12}{2,7^2} \cdot 0,0712 \cdot 2,7 \right. \\ \left. + 12 \frac{2,7}{2,7^2} \left(0,0201 \cdot \frac{1}{0,9487} + 0,0208 \right) \right] = 6,465.$$

3. Belastung: Eigengewicht aus Binder, Dach und Oberlicht.

$$P'_0 = P'_4 = 4,0 \text{ t}, \quad P_0 = P_4 = 4,5 \text{ t},$$

$$P_1 = P_3 = 5,8 \text{ t}, \quad P_2 = 2,8 \text{ t}.$$

4. Belastungszahlen nach (769).

$k =$	A	o'	o	I	2	3	4	4'	B
$V_{k0} =$	o	15,7	11,7	7,2	1,4	-1,4	-7,2	-11,7	-15,7 t
$M_{k0} =$	o	42,40	74,00	93,44	97,22	93,44	74,00	42,40	o mt

k	$\frac{M_{k0}}{V_{k0}}$	$\frac{M_{k0}}{V_{k0}} \frac{h_k - h_{k-1}}{h_k c_k}$	ζ''_k	ζ'''_k	ζ_{k0}
1	12,99	1,60	-0,60	2,60	1,04
2	69,40	6,42	-5,42	7,42	1,01
3	-66,70	8,24	-7,24	9,24	1,01
4	-10,27	1,90	-0,90	2,90	1,03

$$\delta_{10} = 7,2 \frac{-0,60}{6} \cdot 1,0 [2,7 \cdot 6,3 + 0] - 1,4 \frac{-5,42}{6} \cdot 2,7 \left(8,1 + \frac{0,854}{2,7} \right) \\ + \frac{5,4}{2,7^2} \left(\frac{0,0201 \cdot 1,04}{0,9487} + 0,0208 \right) \cdot 93,44 = 19,44.$$

5. δ Matrix und Lösung.

Y_1	Y_2	Y_3	Y_4
6,465	-2,110		
-2,110	9,445	-4,910	
	-4,910	16,800	-4,210
		-4,210	14,890

$$19,44 \quad M_{10} = M_{34} = Y_1 = 0,64 \text{ mt},$$

$$-93,19 \quad M_{21} = M_{23} = Y_2 = -7,24 \text{ mt},$$

$$90,40 \quad M_{32} = M_{12} = Y_3 = 4,78 \text{ mt},$$

$$73,29 \quad M_{43} = M_{01} = Y_4 = 6,27 \text{ mt},$$

$$M_{k(k-1)}^a = M_{k(k-1)}^b, \quad M_{kh}^a = -M_{kh}^b,$$

$$M_{1h}^b = -M_{3h}^b = 4,78 - 0,64 = 4,14 \text{ mt},$$

Mit den Momenten sind auch die Quer- und Längskräfte bekannt. Die Schnittkräfte aus Wind- und Schneelast werden in gleicher Weise berechnet.

Mann, L.: Statische Berechnung steifer Vierecknetze. Berlin 1909 und Z. Bauw. 1909. — Derselbe: Das strebenlose Ständerfachwerk. Müller-Breslau-Festschrift. Leipzig 1912. — Engesser, F.: Die Berechnung der Rahmenträger. Z. Bauw. 1913. — Grüning, M.: Die Spannungen im Knotenpunkt eines Vierendeelträgers. Eisenbau 1914. — Lührs, J.: Die statische Berechnung des Rahmenträgers. Eisenbau 1915 S. 83. — Mohr, O.: Die Berechnung der Pfosten-träger. Eisenbau 1915. — Derselbe: Beitrag zur Berechnung der Rahmenträger. Berlin 1915. — Engesser, F.: Die Berechnung der Rahmenträger. Berlin 1919. — Hartmann, F.: Die statisch unbestimmten Systeme des Eisen- und Eisenbetonbaues. Berlin 1922. — Kriso, K.: Statik der Vierendeelträger. Berlin 1922. — Spiegel, G.: Der Rahmenträger. Berlin 1922. — Wieser, F.: Statische Berechnung der Vierendeelträger. Bautechn. 1927 S. 263. — Domke, O.: Handb. f. Eisenbetonbau Bd. 10 3. Aufl. Berlin 1931.

53. Die Berechnung von Silozellen.

Der Zellsilo wird in der Regel durch senkrechte Wände gebildet, die in den Kanten biegesteif verbunden sind, so daß rechteckige Behälter zur Lagerung des Füllgutes entstehen. Der Innendruck wächst nach S. 14 mit zunehmender Schütthöhe z , ist jedoch für $z = \text{const}$ in jeder Zelle konstant. Die Wand wirkt daher unter dem Innendruck aus dem Füllgut als elastisch eingespannte Platte, für das Eigengewicht der Wand und für die Reibungskräfte längs der Wand als Scheibe. In der Regel wird auf die Klärung des räumlichen Spannungszustandes verzichtet und die Sicherheit des Bauwerks für Kräfte winkelrecht zur Wandebene in Abschnitten des Tragwerks zwischen je zwei waagerechten Schnitten festgestellt. Diese werden dann als waagrecht liegende Stabwerke berechnet, deren Knoten infolge der Längssteifigkeit der Wände unverschieblich sind.

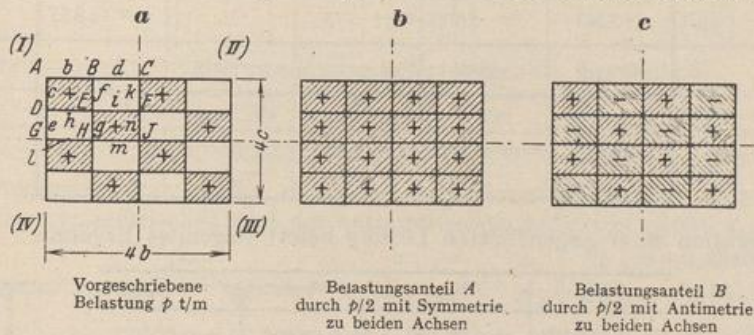


Abb. 479.

Das Tragwerk Abb. 479a besteht darnach aus elastisch eingespannten, gleichförmig belasteten Stäben $JK = l_k$. Ihr Spannungszustand ist durch die Belastung p und die benachbarten Knotendrehwinkel φ_J, φ_K bestimmt. Wird der Querschnitt im Bereich der theoretischen Stablänge l_k als konstant angenommen, so lassen sich n Knotendrehwinkel des Stabnetzes nach S. 320 aus n Bedingungsgleichungen $\delta A_J = 0$ berechnen, in denen die Stabdrehwinkel Null sind. Der allgemeine Ansatz wird bei Symmetrie des Tragwerks nach einer oder zwei Achsen durch Umordnung der Belastung in Anteile mit Symmetrie oder Antimetrie zu einer der beiden Achsen vereinfacht und in jedem Falle am besten durch Iteration nach Abschn. 30 gelöst. Damit sind auch die Schnittkräfte des Stabnetzes bekannt. Sie entstehen nach (530) durch die Überlagerung der bekannten Schnittkräfte des gleichförmig belasteten, beiderseits eingespannten Stabes JK mit denjenigen, welche durch die Verdrehung der Endquerschnitte J, K um φ_J, φ_K hervorgerufen werden. Das Ergebnis läßt sich mit der Bedingung nachprüfen, daß die Summe der